

沿岸漂砂モデルと漂砂量の算定

京都大学防災研究所 正会員 工屋 義人
京都大学大学院 学生員 麻田 郁夫

1. 緒言 沿岸漂砂の機構と海浜や波浪の特性と関係づけて取扱おうとする試みは、岩垣・木暮およびBiglerらの研究をはじめ、最近ではエネルギー的なアプローチを沿岸流および波のシグザグ運動とに立脚して展開させたKomarの研究などが発表されてきた。しかし、これらの中には、Bagnold-Inmanにはじまるエネルギー的な取扱いと岩垣らおよびBiglerらのような沿岸流理論と漂砂則とを結びつけようとする2つの方法があるが、必ずしも沿岸漂砂機構が十分説明工れているとはいえないといってよいであろう。ここでは、Komarの研究に漂砂法則を導入した沿岸漂砂機構の1つのモデルを提案して若干の考察をする。

2. 沿岸漂砂の機構とモデル たとえばThorntonの観測結果にもみられるように、沿岸漂砂には掃流形式のものと浮遊形式のものとせあ、て、前者は主として沿岸流による流送が主体となるが、波の直接的な作用も大きな要因となり、いろいろどうし、後者は主として波により底質が浮遊し、それが沿岸流によって沿岸方向に輸送されるものと考えられる。このように考えると、沿岸漂砂を1つの流砂則で規定することにはかなり問題がある、て、Biglerのように掃流・浮遊も包含した取扱いも有効となる。ここでは、図-1に示すように沿岸流と波のシグザグ運動によつて輸送されるものとして沿岸漂砂を取り扱い、最近の沿岸流理論や波のせん断理論などを用いて、その機構とモデル的に考察することとする。

(1) 沿岸流による漂砂機構 図-1(a)に示したモデルに従つて、沿岸漂砂の機構を考察するが、その場合Longuet-Higginsの沿岸流理論を適用する。この理論によれば、沿岸流と波による底面せん断応力 τ_c の表示は、

$$\tau_c = (1/\pi) \frac{f}{P} U_{max} v \quad (1)$$

で表わされ、沿岸流速の分布は次式で与えられる。

$$v/v_{max} = B_1 (x/x_B)^a + A (x/x_B); \quad 0 \leq (x/x_B) \leq 1 \quad (2)$$

$$v/v_{max} = B_2 (x/x_B)^b; \quad 1 \leq (x/x_B) < \infty, \quad v_{max} = (5\pi b / 16 f) \sqrt{gh_B} \tan \beta \sin 2\theta_B$$

ここで、 f : 海底摩擦係数、 β : 海浜こう配、 θ_B : 波浪における波向、 $a, b = -(3/4) \pm (9/16 + 1/P)^{1/2}$ 、 $A = \{1 - (2/5)P\}^{-1}$ 、 $B_1 = (b-1)A/(a-b)$ 、 $B_2 = (a-1)A/(a-b)$ 、 P : 水平混合係数を含むパラメータ - 1 - 2 - 実験値との比較では 0.2~0.3、および U_{max} : 底面における波の最大水粒子速度である。

いま、この沿岸流によつて漂砂が Kansiske の流砂則で輸送されるものとすれば、

$$g/u^* d = K(\tau_c^* - \tau_s^*), \quad \tau_c^* = U^2 / (C_f P - 1) g d \quad (3)$$

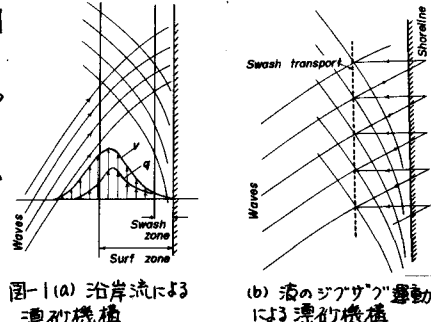


図-1(a) 沿岸流による漂砂機構
(b) 波のシグザグ運動による漂砂機構

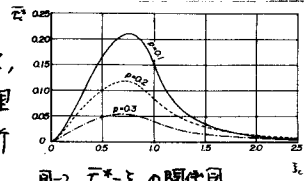


図-2 τ_c の関係図

を適用し、漂砂の移動限界水深で規定される漂砂帯について積分することによって、沿岸漂砂量式として次式が得られる。

$$Q_1/\sqrt{f_B} d f_B = K \left(\frac{1}{\delta} \tan \beta \right)^{m+2} \left\{ f_B / (\delta/2 - 1) d \right\}^m \left(\tan \beta \right)^{m+2} \left\{ I_1(\beta_c) + I_2(\beta_c) \right\} \quad (4)$$

ここに、 I_1 および I_2 : 図-2 に示す β の関数として与えられ、または次式で表せられるまで移動限界における無次元掃流力 α がわかれれば漂砂帯が決定することになる。

$$(5/1) \beta_c^{m+2} (B_1 \beta_c^2 + A_2 \beta_c) = \left\{ (\delta/2 - 1) / \delta^2 \tan \beta \sin \beta \right\} \left\{ (d/f_B) \right\}^m; \quad 0 \leq (x/x_B) < 1 \quad (5)$$

$$(5/1) \beta_c^{m+2} = \left\{ (\delta/2 - 1) / \delta^2 \tan \beta \sin \beta \right\} \left\{ (d/f_B) \right\}^m; \quad 1 \leq (x/x_B) < \infty$$

一方、(3) 式の流砂則の代りに直角の現地観測の結果得られた液による全海遊漂砂量と液の特性との関係たとえば図-3 に示すような関係を用いて同様な計算を行はれば、いちおう海遊漂砂による沿岸漂砂量の表示を与えることもできる。

(c) 液のシグサグ運動による漂砂機構
図-1(b) に示すように、液のうちあげ時に近似的に波高 d_B を上昇し、もじり流れは海浜に沿って直線にはほぼ直角方向に冲方向にもどさうものと考えることにする。
そうすれば、Freeman-Methane の数値計算の結果に基づいて、ごく近似的に碎波带より直線までの液の特性を次式で表す
こととする。

$$U + C = \text{const} (\pm \sqrt{g H_B}), \quad C = \frac{1}{2} \tan \beta$$

ここに、 H_B は碎波高である。エラニ、swash zone における液の特性にして、同様に次式を用いることとする。

$$U^2 = U_0^2 - 2 \left[\tan \beta + \left(\frac{1}{2} \beta \right)^2 \right] / (H_B X_{sw})^2 (H_B X_{sw})^2 (X_c/f_B) \quad (6)$$

ここに、 U_0 は(6) 式で計算される直線における U の値、 $\sin \beta = \tan \beta \cos \beta$ 、
 $X_{sw} = -f_B \tan \beta$ であり、エラニに $U^* = K_u U$ と仮定すれば、沿岸漂砂量式は、

$$Q_2 / \sqrt{f_B} d f_B = (K_u)^2 (X_c)^{3(m+2)} \left\{ f_B / (\delta/2 - 1) d \right\}^m \left(\sin \beta \right)^{m+2} \left\{ I_1(\beta_c) + I_2(\beta_c) \right\} \quad (7)$$

で与えられる。ここに、 I_1 および I_2 はいすれも f_B/H_B の関数として与えられる。

3. 沿岸漂砂量に関する考察 沿岸漂砂量に関する実験・実測結果が D-6 によて収集されており。そのうちの比較的緩やかな配の海浜における実験結果として、Saville および Shay-Johnson らのものを用いて考察した。Bagnold らによるエネルギー的なアプローチによれば、 $Q = K(E_G) \sin \beta$ で表わされるが、図-4 はその比較を示し、扶図-5 は実験・実測の結果との比較である。実測結果についてはこの関係式がよく適用されるが、実験結果では海浜こう配や底質特性の影響が著しいようと思われる。(しかし、図-6 は岩垣樋木式との比較であり、 $Q/4 = 31.7 E_G^{2/3} / \delta^{1/3}$ (水理公式集参照) の左辺右辺をもれぞれ縦軸および横軸に表してある。一方、著者らの誘導した理論式もありよい一致を示せない。これらのことから考えると、むしろ沿岸漂砂量に関する従来の実験結果には、かなり問題があるように思われるが、今後の詳細な実験が必要といえる。

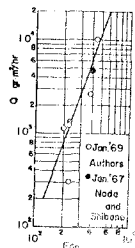


図-3 海遊漂砂量と
沖浪上昇率との関係

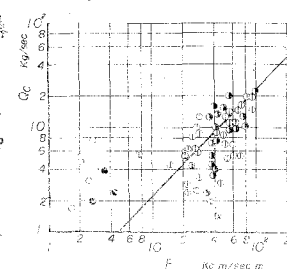


図-4 エネルギー理論と実験結果
漂砂量との比較

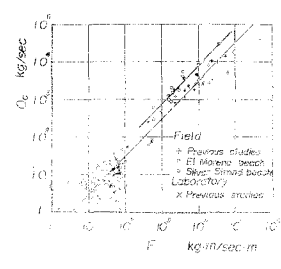
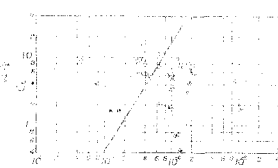


図-5 実験的理論と実験結果
漂砂量との比較



(8)